

LANCÉ

Servicio Clima Espacial

Reporte Semanal

<http://www.sciesmex.unam.mx>



Reporte semanal: del 21 al 27 de enero de 2022

LANCÉ

Servicio Clima Espacial

CONDICIONES DEL SOL

Regiones Activas (RA): 5

Fulguraciones: 1

Hoyos coronales: 3, de los cuales 1 está cercano al ecuador.

EMCs: 2 tipo limbo (no dirigidas hacia la Tierra).

CONDICIONES DEL MEDIO INTERPLANETARIO

Esta semana se registró una región de interacción, causada por una corriente de viento solar rápido proveniente de un hoyo coronal ubicado en latitudes bajas.

CONDICIONES DE MAGNETÓSFERA

Índice K local: No se registró actividad geomagnética significativa en la semana.

Índice Dst: No se registró actividad geomagnética significativa en la semana.

CONDICIONES DE LA IONOSFERA

Según los datos locales, no se presentaron variaciones significativas.

CONDICIONES DE RAYOS CÓSMICOS SOBRE MÉXICO

No hubieron eventos.

Reporte semanal: del 28 de enero al 3 de febrero de 2022

PRONÓSTICOS

Viento solar:

- EL modelo WSA-ENLIL pronostica el arribo de corrientes de viento solar con velocidades alrededor de los 350 km/s.

Fulguraciones solares:

- Baja probabilidad de que se presenten fulguraciones intensas en los próximos días.

Tormentas ionosféricas:

- Baja probabilidad de perturbaciones geomagnéticas moderadas.

Tormentas geomagnéticas:

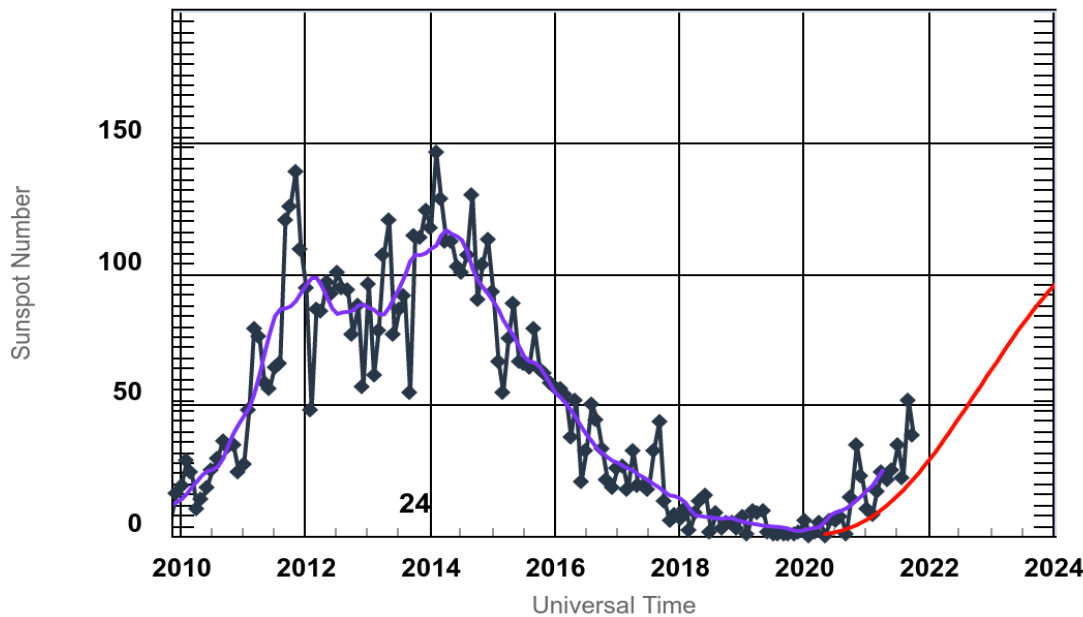
- Baja probabilidad de actividad geomagnética moderada.

Tormentas de radiación solar:

- Probabilidad de tormentas menores de radiación.

Ciclo de manchas solares y la actividad solar

ISES Solar Cycle Sunspot Number Progression



◆ Monthly Values — Smoothed Monthly Values — Predicted Values
Space Weather Prediction Center

La figura muestra el conteo del número de manchas solares desde enero del 2010.

Entre más manchas solares presente el Sol, es mayor la posibilidad de que ocurra una tormenta solar.

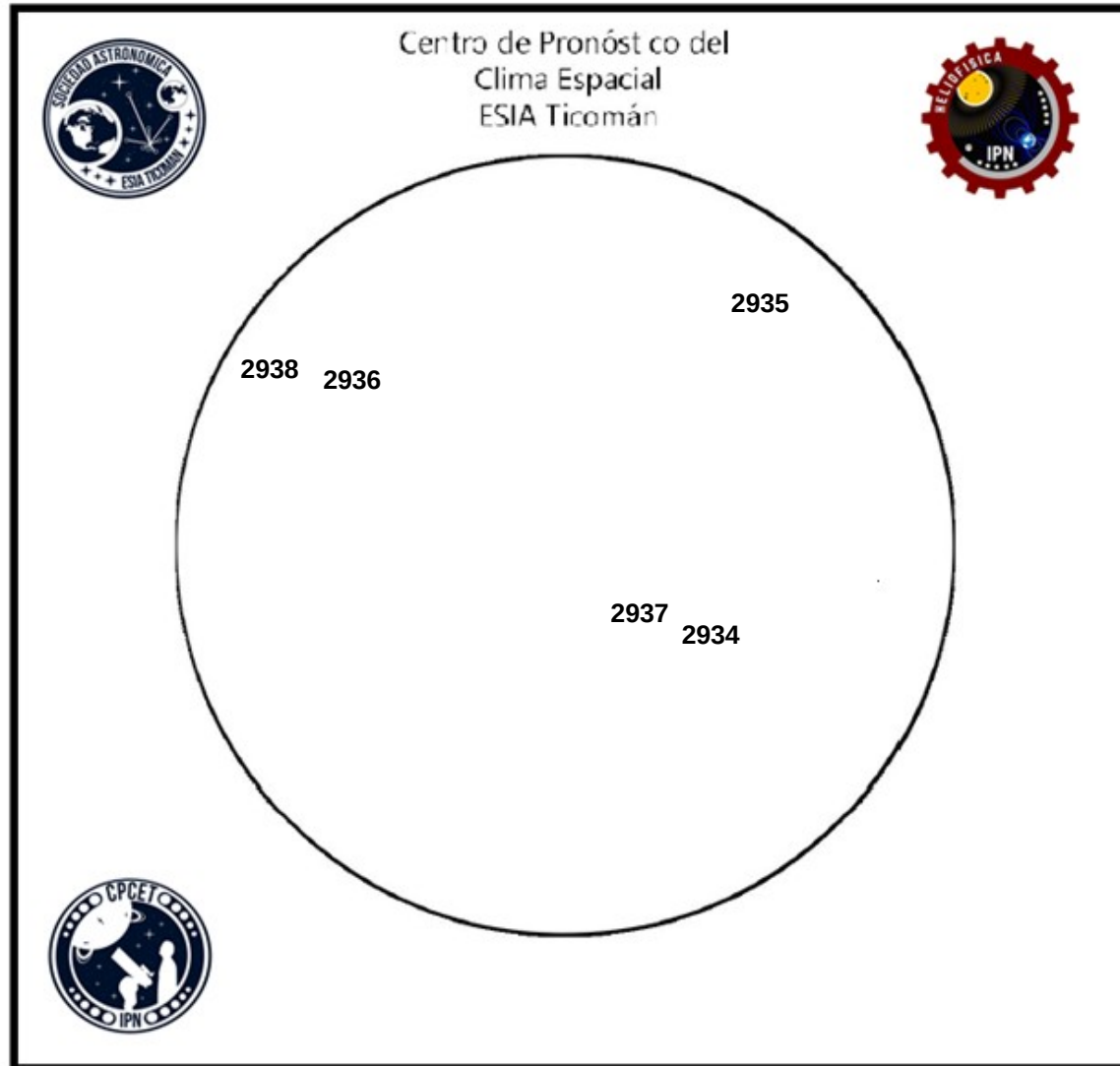
Nos encontramos en la fase ascendente del ciclo solar 25 con el aumento progresivo de manchas solares.

<http://www.swpc.noaa.gov/products/solar-cycle-progression>

Número de Wolf

LANCE

Laboratorio Nacional
de Clima Espacial



El número de Wolf es un valor que permite evaluar numéricamente la actividad solar mediante el conteo de manchas solares ubicadas sobre la superficie del Sol. Este se calcula a partir de la fórmula desarrollada por Rudolf Wolf en 1849:

$$W=k(10 * G+F)$$

Donde:

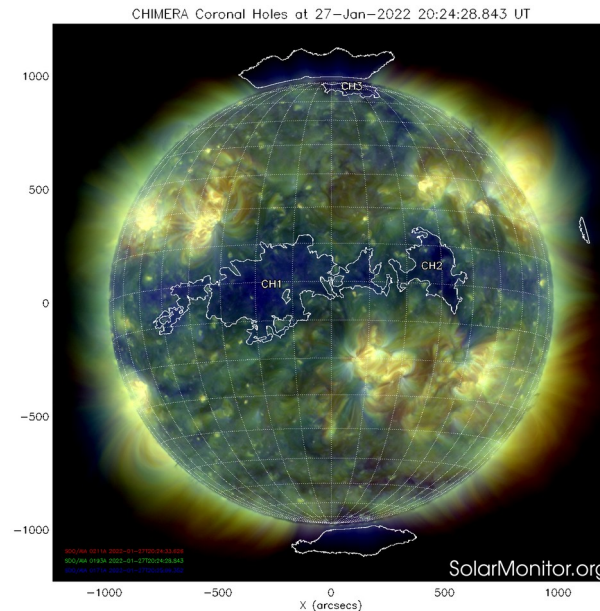
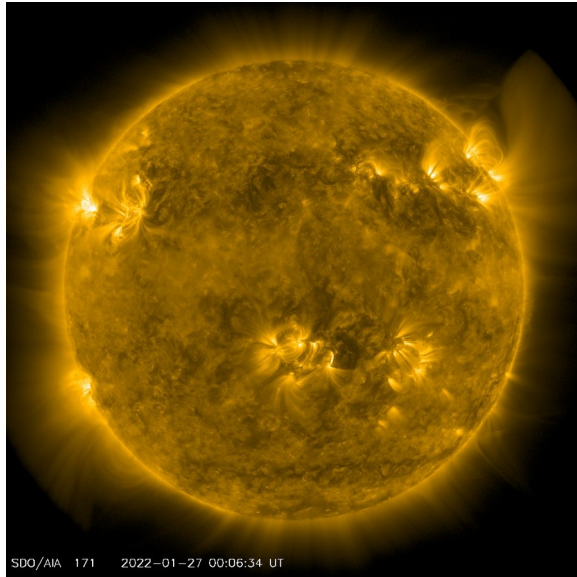
K= Es un factor de corrección que depende de cada observatorio.

F= Cantidad total de manchas solares visibles sobre el disco solar.

G= Cantidad de grupos manchas solares visibles sobre el disco solar.

Número de Wolf máximo esta semana: **98**

Durante esta semana se pudieron observar cinco regiones activas en la superficie del Sol. Estas fueron la 2934, 2935, 2936, 2937 y 2938. Con coordenadas S24W24, N27W33, N15E35, S20W11 y N18E56 respectivamente.



El Sol visto en distintas longitudes de onda que muestran las diferentes capas solares.

A la izquierda: La atmósfera (corona) solar vista en luz UV emitida por iones de hierro a temperaturas de alrededor de 1,000,000 K. En esta zona se aprecian las regiones activas (zonas claras) que concentran intensos campos que atrapan el plasma solar y son la principal fuente de la actividad solar.

Las imágenes al día de hoy, 27 de enero, muestran 5 regiones activas distribuidas sobre el disco solar.

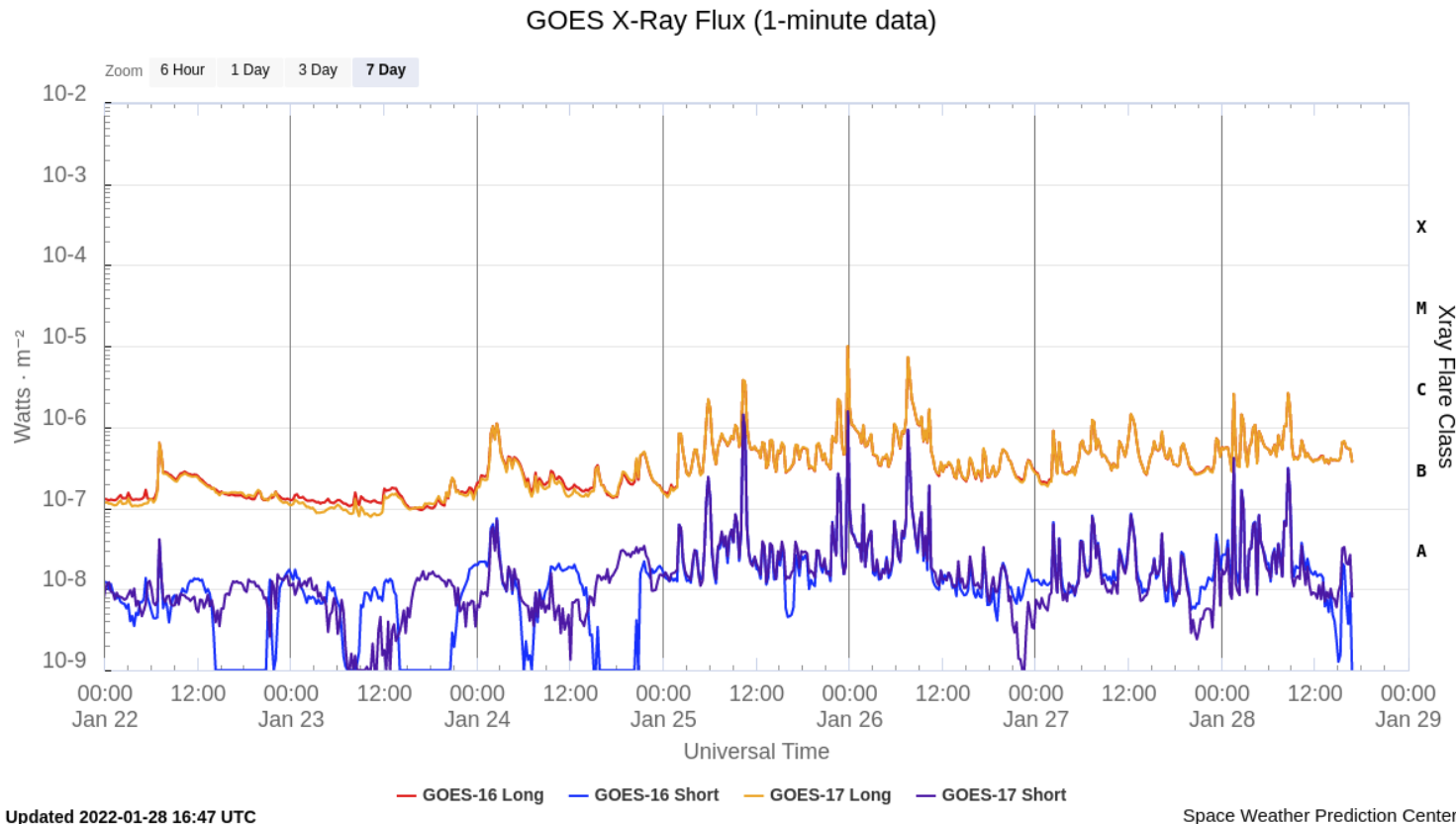
Además, se observan tres hoyos coronales, dos en los polos y uno sobre el ecuador solar.

<https://sdo.gsfc.nasa.gov/data/>
<https://www.solarmonitor.org/>

A la derecha: Imagen del disco solar compuesta por diferentes longitudes de onda. La imagen facilita la identificación de hoyos coronales (regiones azul oscuro) que son fuente de campo magnético solar localmente abierto y también son el origen de las corrientes de viento solar rápido

Fulguraciones solares

Flujo de rayos X solares detectado por los satélites GOES.



La imagen muestra el flujo de rayos X detectados durante la última semana. No se registró actividad significativa.

www.swpc.noaa.gov/products/goes-x-ray-flux

Medio interplanetario: El viento solar cercano a la Tierra

Modelo numérico WSA-ENLIL.

Al día de hoy 27 de enero de 2022, el modelo pronostica el arribo de corrientes de viento solar promedio con velocidades de aproximadamente 350 km/s para los días siguientes. No pronostica el arribo de alguna EMC para la próximos días.

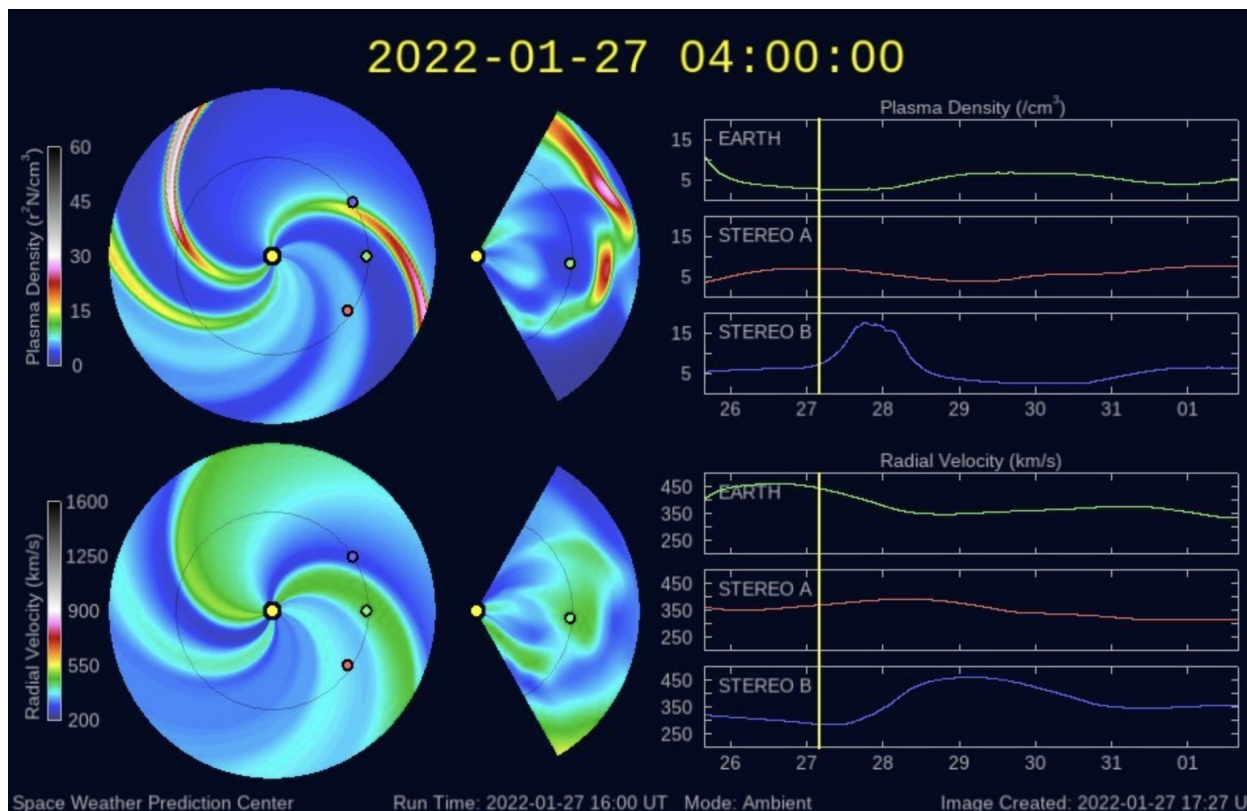


Imagen: <http://www.swpc.noaa.gov/products/wsa-enlil-solar-wind-prediction>

Medio interplanetario: Región de interacción de viento solar

CHIMERA Coronal Holes at 21-Jan-2022 20:24:28.843 UT

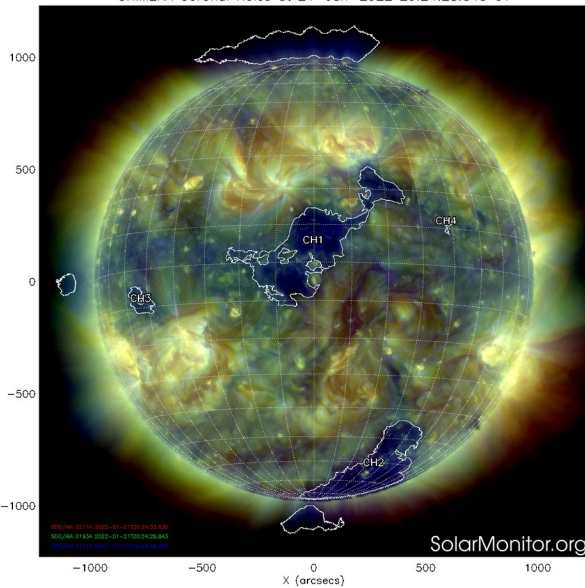


Imagen 1: <https://solarmonitor.org>

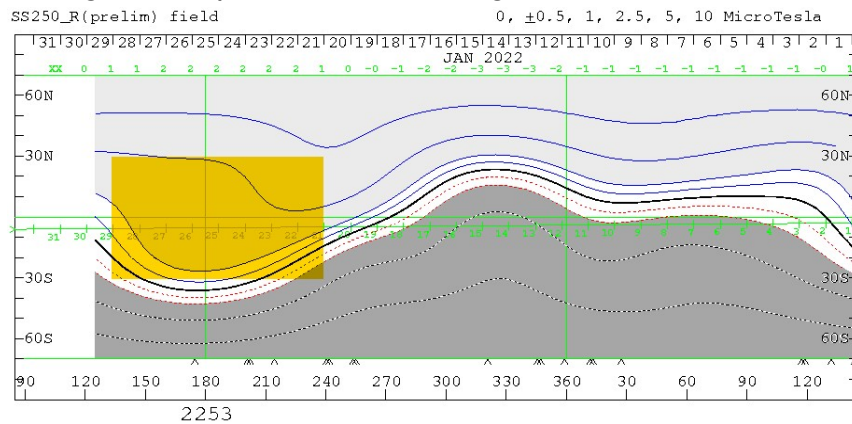


Imagen 2: <http://wso.stanford.edu/SYNOP/>

Esta semana se registró una región de interacción (área sombreada en imagen 3). El origen del viento solar rápido es un hoyo coronal ubicado en latitudes bajas (CH1 en imagen 1). Dicha región de interacción generó actividad geomagnética relevante. En la imagen 2 (área sombreada en amarillo) vemos la hoja de corriente heliosférica por abajo del plano de la eclíptica.

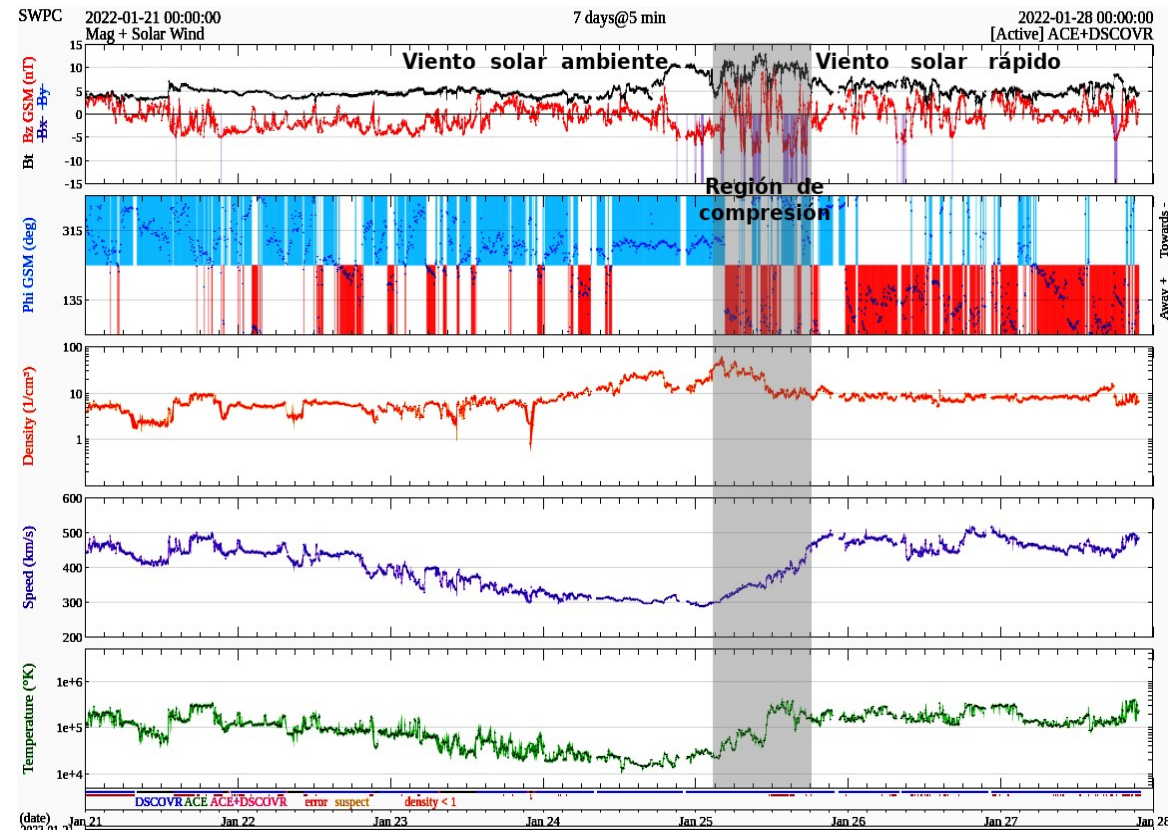


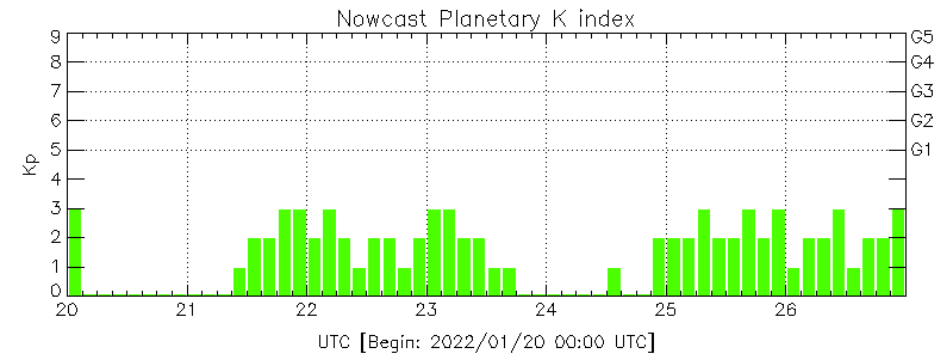
Imagen 3: <http://www.swpc.noaa.gov/products/real-time-solar-wind>

Perturbaciones geomagnéticas: Índices geomagnéticos Kp y Kmex

Fue una semana geomagnéticamente quieta, no se registraron tormentas geomagnéticas.

NOTA: El cálculo del índice Kmex se realiza por la estación geomagnética de Coeneo, Mich. Los datos son experimentales y no se deben de tomar como definitivos.

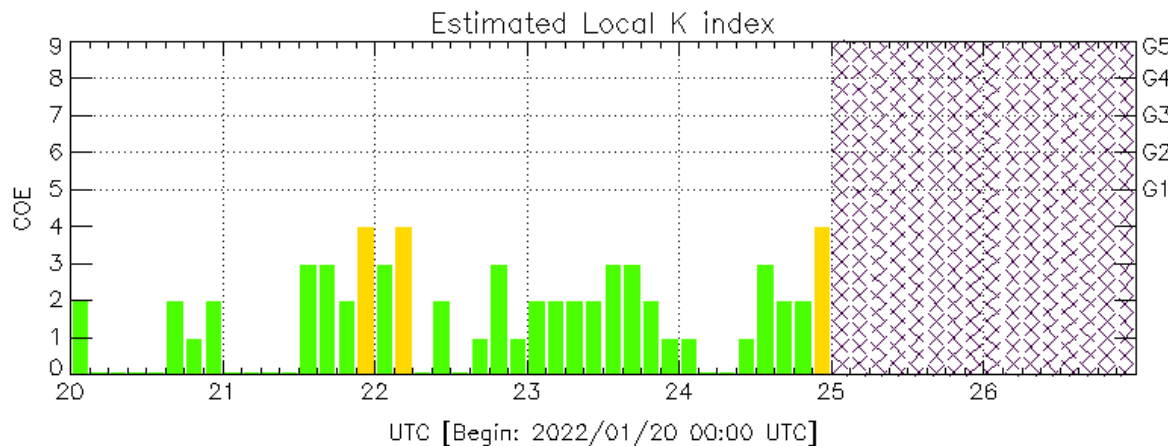
Datps: www.gfz-potsdam.de/en/kp-index/



Color Code: ■ quiet, ■ disturbed, ■ storm, XXXX data not available.

Kp: by GFZ German Research Center for Geosciences
<https://www.gfz-potsdam.de/en/kp-index/>

Updated: 2022/01/27-00:05 UTC



Color Code: ■ quiet, ■ disturbed, ■ storm, XXXX data not available.

COE: Coeneo Geomagnetic Station (LAT 19.81, LON -101.69)
LANC/SCIESMEX - Morelia, Mich., MX

Updated: 2022/01/27-20:59 UTC

El índice K indica la intensidad de las variaciones del campo magnético terrestre en intervalos de 3 horas.

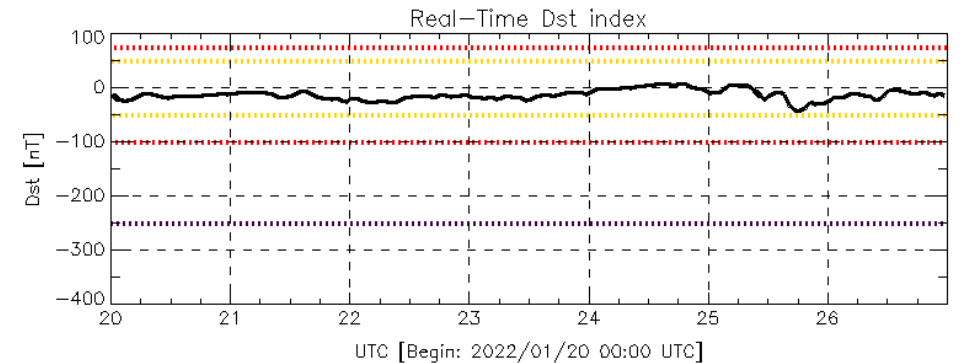
El índice Kp lo expresa a escala planetaria, mientras que el Kmex lo hace para el territorio mexicano.

Perturbaciones geomagnéticas: Índice Dst y ΔH

Fue una semana geomagnéticamente quieta, no se registraron perturbaciones geomagnéticas.

NOTA: El cálculo del índice ΔH se realiza por la estación geomagnética de Coeneo, Mich. Los datos son experimentales y no se deben de tomar como definitivos.

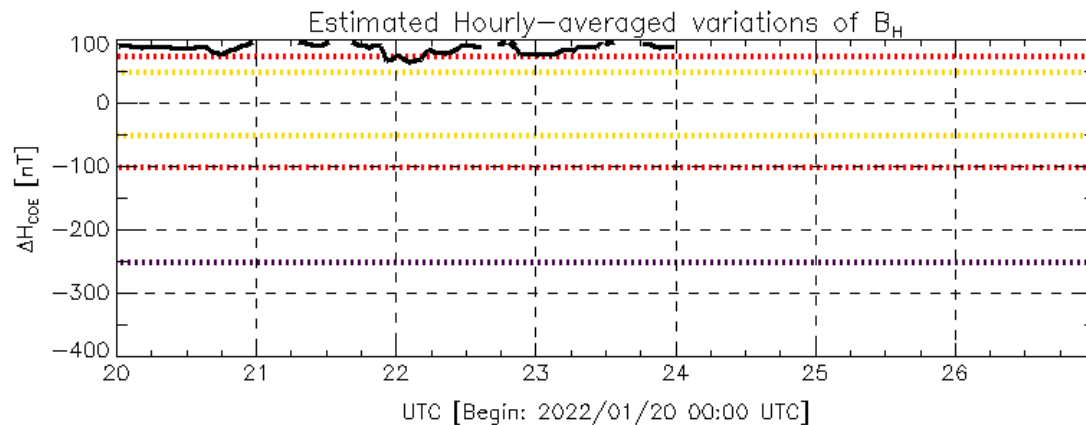
Datos: wdc.kugi.kyoto-u.ac.jp/dst_realtime/



Color Code: weak, moderate, intense, extreme, — data not available.

Dst: by World Data Center for Geomagnetism, Kyoto
http://wdc.kugi.kyoto-u.ac.jp/dst_realtime/

Updated: 2022/01/27-00:05 UTC



Color Code: weak, moderate, intense, extreme, — data not available.

COE: Coeneo Geomagnetic Station (LAT 19.81, LON -101.69)
LANC/SCIESMEX - Morelia, Mich., MX

Updated: 2022/01/27-20:59 UTC

Los índices Dst y ΔH miden las variaciones temporales de la componente horizontal del campo geomagnético, el primero a escala planetaria y el segundo para México.

Estas variaciones, en general, se deben al ingreso de partículas cargadas, provenientes del espacio exterior, al ambiente espacial terrestre.

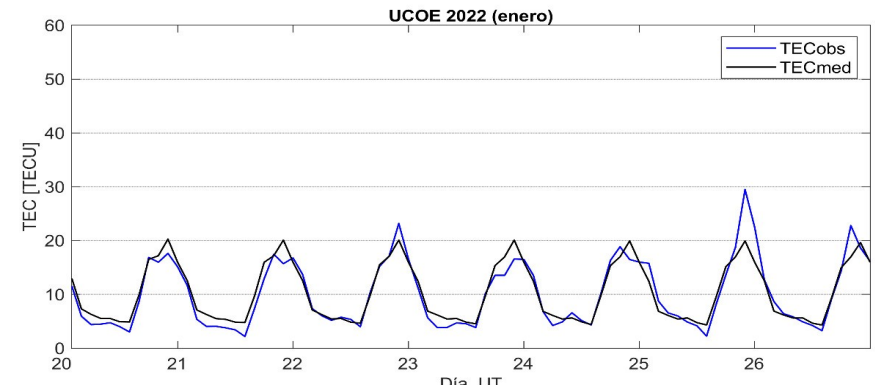
Ionósfera sobre México: TEC en el centro del país

El contenido total de electrones (TEC) es un parámetro que sirve para caracterizar el estado de la ionosfera de la Tierra.

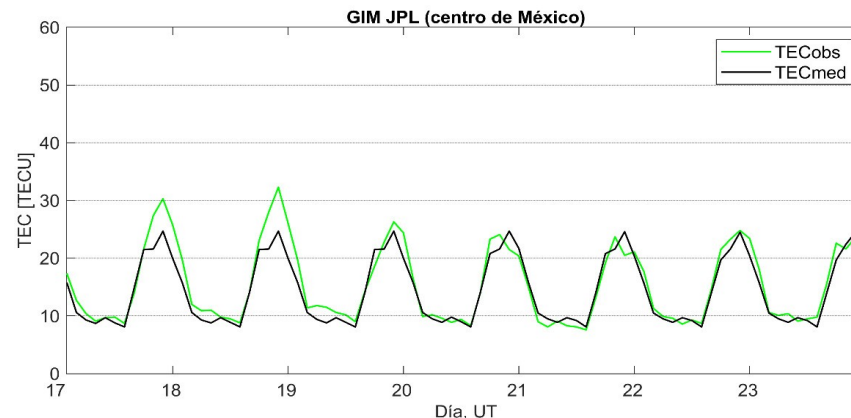
Series temporales de los valores de TEC (TECobs) con referencia a su valor mediano (TECmed):

(1) con base en los datos de la estación local UCOE (TLALOCNet, UNAVCO) ubicada en las instalaciones del MEXART

El cálculo se realiza en base del software "TayAbsTEC" del Instituto de Física Solar-Terrestre, SB RAS. Referencia: Yasyukevich et al., 2015, doi: 10.1134/S001679321506016X.

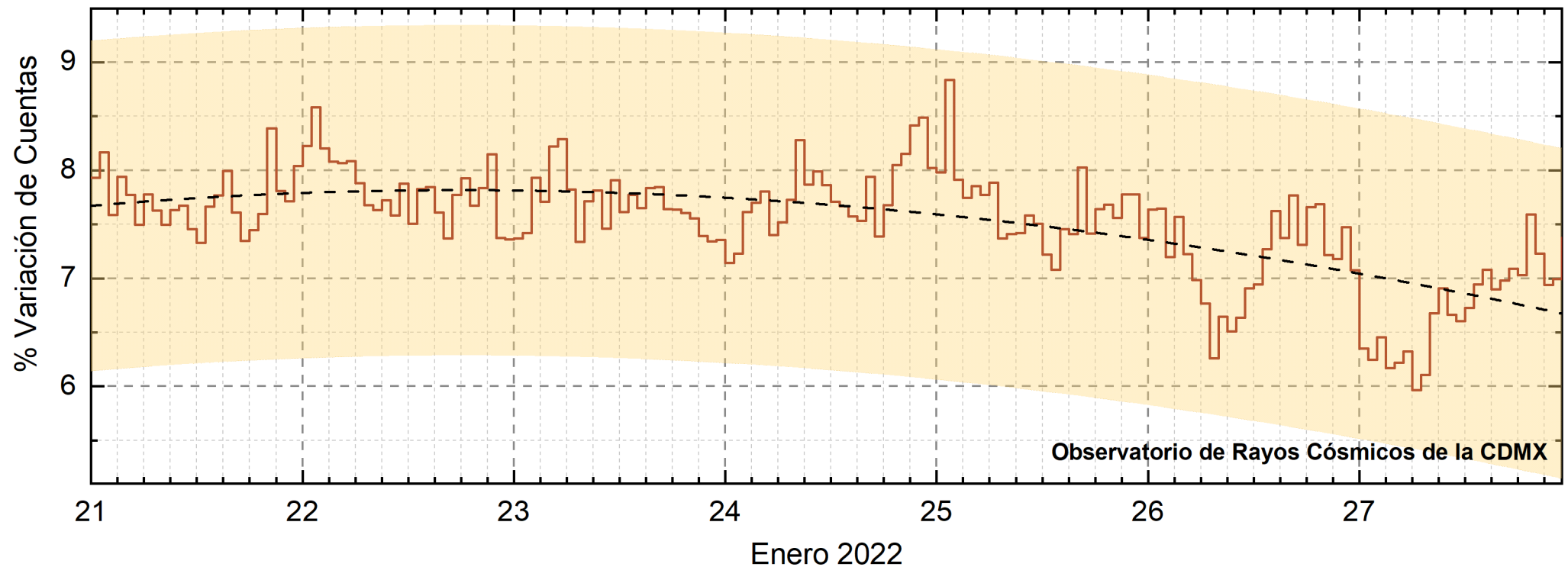


(2) con base de los mapas ionosféricos globales (GIM JPL)



Según los datos locales, se observaron valores aumentados de TEC el 25 de enero. Estas variaciones no son significativas.

Rayos Cósmicos:



<http://www.cosmicrays.unam.mx/>

Datos registrados por el Observatorio de Rayos Cósmicos de la Ciudad de México. La curva discontinua negra representa el promedio de los datos registrados, el área coloreada en amarillo representa la significación de los datos ($\pm 3\sigma$). Cuando se registran variaciones que salen del área, es probable que éstas sean atribuidas a efectos de emisiones solares en el flujo de rayos cósmicos.

Del 21 al 27 de enero de 2022, no se detectaron variaciones significativas ($\pm 3\sigma$) en las cuentas de rayos cósmicos.

UNAM/LANCE/SCIESMEX

Dr. J. Américo González Esparza

Dr. Pedro Corona Romero

Dra. Maria Sergeeva

Dr. Julio C. Mejía Ambriz

Dr. Luis Xavier González Méndez

Dr. José Juan González Avilés

Ing. Ernesto Andrade Mascote

M.C. Pablo Villanueva Hernández

Ing. Adan Espinosa Jiménez

Ing. Juan Luis Godoy Hernández

Dr. Ernesto Aguilar-Rodríguez

Dra. Verónica Ontiveros

Dra. Tania Oyuki Chang Martínez

M.C. Juan José D'Aquino

Dr. Víctor José Gatica Acevedo

M.C. Angela Melgarejo Morales

Isaac David Orrala Legorreta

UNAM ENES-Morelia

Dr. Mario Rodríguez Martínez

Dr. Víctor De la Luz Rodríguez

Lic. Shaden Saray Hernández Anaya

M.C. Raúl Gutiérrez Zalapa

Rafael Zavala Molina

Vanessa Arriaga Contreras

UNAM/PCT

Lic. Elizandro Huipe Domratheva

M.C. Víctor Hugo Méndez Bedolla

M.C. Elsa Sánchez García

M.C. Carlos Arturo Pérez Alanís

UANL/LANCE

Dr. Eduardo Pérez Tijerina

Dr. Enrique Pérez León

Dra. Esmeralda Romero Hernández

UNAM/IGF/RAYOS CÓSMICOS

Dr. José Francisco Valdés Galicia

Fis. Alejandro Hurtado Pizano

Ing. Octavio Musalem Clemente

SERVICIO MAGNÉTICO

M.C. Esteban Hernández Quintero

M.C. Gerardo Cifuentes Nava

Dra. Ana Caccavari Garza

CPCET/SAET-IPN

Ing. Julio César Villagrán Orihuela

Miguel Daniel González Arias

Carlos Escamilla León

Jessica Juárez Velarde

Pablo Romero Minchaca

Eric Bañuelos Gordillo

Alfonso Iván Verduzco Torres

Alain Mirón Velázquez

Christian Armando Ayala López

Katia Lisset Ibarra Sánchez

Angel Alfonso Valdovinos Córdoba

Elaboración: Dra. Esmeralda Romero y equipo SCIESMEX

Revisión: Ernesto Aguilar Rodríguez

Agradecimientos

El Laboratorio Nacional de Clima Espacial (LANCE) es parcialmente financiado por: el programa Cátedras CONACYT Proyecto 1045 y el Fondo Sectorial AEM-CONACYT proyecto 2014-01-247722. Agradecemos al proyecto Conacyt – Repositorio Institucional de Clima Espacial 268273. Agradecemos al proyecto AEM-2018-01-A3-S-63804 del Fondo Sectorial CONACYT-AEM. Agradecemos a todos los responsables y colaboradores de instrumentos del LANCE y a las redes de estaciones GPS del Servicio Sismológico Nacional y TlalocNET por facilitar sus datos. Agradecemos a Gerardo Cifuentes, Esteban Hernández y Ana Caccavari por los datos del Observatorio Magnético de Teoloyucan. De igual forma, agradecemos los servicios de IGS (International GNSS Service) por permitirnos usar los datos IONEX disponibles en: <https://cddis.nasa.gov/archive/gnss/products/ionex>. Los valores de TEC fueron obtenidos a partir de observaciones de las redes GPS del Servicio Sismológico Nacional (SSN), SSN-TLALOCNet y TLALOCNet del Servicio de Geodesia Satelital (SGS). Agradecemos al personal del SSN y del SGS por el mantenimiento de estaciones, la adquisición de datos y el soporte de IT de estas redes. Las operaciones de la red TLALOCNet y SSN-TLALOCNet GPS han sido apoyadas por The National Science Foundation bajo el proyecto EAR-1338091 a UNAVCO Inc., los proyectos CONACyT 253760 y 256012 y los proyectos UNAM-PAPIIT IN109315-3 y IN104818-3 de E. Cabral-Cano y el proyecto UNAM-PAPIIT IN111509 de R. Pérez. De igual forma, agradecemos a los proyectos de infraestructura del CONACyT: 253691 y del PAPIIT-DGAPA: IA107116 para el fortalecimiento de equipos como la estación fija de GPS, que forman parte del LACIGE-UNAM, de la ENES unidad Morelia a cargo de M. Rodríguez-Martínez, El cálculo de TEC se realiza: 1) utilizando el software US-TEC que es un producto de operación del Space Weather Prediction Center (SWPC), desarrollado a través de una colaboración entre National Geodetic Survey, National Oceanic and Atmospheric Administration (NOAA) y el Cooperative Institute for Research in Environmental Sciences of the University of Boulder, Colorado, 2) con base en el software TayAbsTEC del Instituto de Física Solar-Terrestre, sección Siberiana de la Academia de Ciencias Rusa. Parte del procesamiento de datos se lleva a cabo dentro del centro de Supercómputo de Clima Espacial (CESCOM) del LANCE. Así mismo agradecemos al Space Weather Forecasting Center for Astrophysics & Space Research de la University of California in San Diego y al Korean Space Weather Center por los datos de pronóstico para los modelos WSA-ENLIL y los mapas tomográficos por IPS. Agradecemos a la red e-callisto por los datos proporcionados de espectros electromagnéticos dinámicos de la red internacional de registro de eventos de radio solares.

Datos

Imágenes de coronógrafo, flujo de rayos X y modelo WSA-ENLIL:

<http://www.swpc.noaa.gov/products>

<http://iswa.ccmc.gsfc.nasa.gov/IswaSystemWebApp/>

Imágenes de coronógrafo:

<http://sohowww.nascom.nasa.gov/data/>

Imágenes del disco solar y de la fulguración:

<http://www.solarmonitor.org/>

Detección y caracterización de EMCs:

<http://www.sidc.oma.be/cactus/out/latestCMEs.html>

<http://spaceweather.gmu.edu/seeds/>

ISES:

<http://www.spaceweather.org/>

International Network of Solar Radio Spectrometers (e-callisto):

<http://www.e-callisto.org/>

German Research Center For Geosciences Potsdam:

<http://www.gfz-potsdam.de/en/sektion/erdmagnetfeld/daten-dienst/e/kp-index/>

Data Analysis Center for Geomagnetism and Space Magnetism, Kyoto University:

<http://wdc.kugi.kyoto-u.ac.jp/index.html>

UNAVCO:

<http://www.unavco.org>

SSN:

<http://www.sismologico.unam.mx/>

SOHO Spacecraft NASA:

<http://sohowww.nascom.nasa.gov/>

SDO Spacecraft NASA:

<http://sdo.gsfc.nasa.gov/>

Space Weather Prediction Center NOAA:

<http://www.swpc.noaa.gov>

GOES Spacecraft NOAA:

<http://www.ngdc.noaa.gov/stp/satellite/goes/index.html>

ACE Spacecraft NOAA

<http://www.srl.caltech.edu/ACE/ASC/index.html>